

· 论著 ·

大型脑动静脉畸形的伽玛刀体积分割治疗

詹增钦 王 涛 许 川 徐国政 祝永红

【摘要】目的 探讨伽玛刀体积分割治疗大型(体积 $>10\text{ cm}^3$)脑动静脉畸形(AVM)的临床疗效。方法 回顾性分析2007~2017年收治的13例大小脑AVM的临床资料,均采用伽玛刀体积分割治疗,时间间隔3~18个月,治疗的AVM总体积平均为 18.2 cm^3 ($13.5\text{~}52\text{ cm}^3$),首次治疗的体积平均为 14.1 cm^3 ($8\text{~}23\text{ cm}^3$);边缘剂量平均为 16.6 Gy ($14\text{~}20\text{ Gy}$)。13例随访24~92个月,平均为43.2个月。结果 末次随访影像显示,6例血管巢闭塞,4例病灶体积减小 $>75\%$,3例病灶缩小 $<50\%$ 。8例癫痫中,6例缓解或改善。1例治疗后7个月出现脑出血,1例治疗后6个月因脑放射性副反应出现肢体感觉运动障碍。结论 伽玛刀体积分割治疗大型脑AVM是一种安全、有效的方法,大多数临床症状可明显改善。

【关键词】 脑动静脉畸形;伽玛刀;体积分割治疗;立体定向放射外科

【文章编号】 1009-153X(2021)06-0401-05 **【文献标志码】** A **【中国图书资料分类号】** R 743.4; R 815.2

Volume-staged gamma knife radiosurgery for large cerebral arteriovenous malformations (report of 13 cases)

ZHAN Zeng-qin¹, WANG Tao², XU Chuan², XU Guo-zheng², ZHU You-hong². 1. Department of Tumor Medical Center, Guangdong Armed Police Corps Hospital, Guangzhou 510000, China; 2. Department of Neurosurgery, General Hospital of Central Theater Command, PLA, Wuhan 430070, China

[Abstract] **Objective** To explore the clinical efficacy of volume-staged gamma knife radiosurgery for the patients with large (volume, $>10\text{ cm}^3$) brain arteriovenous malformations (AVMs). **Methods** The clinical data of 13 patients with large brain AVM who underwent volume-staged gamma knife radiosurgery from 2007 to 2017 were analyzed retrospectively. The interval time between the first treatment and the second treatment ranged from 3 months to 18 months. The total volume of AVM ranged from 13.5 cm^3 to 52 cm^3 , with an average of 18.2 cm^3 . The volume of the first treatment ranged from 8 to 23 cm^3 , with an average of 14.1 cm^3 . Marginal dose ranged from 14 Gy to 20 Gy, with an average of 16.6 Gy. The follow-up ranged from 24 months to 92 months, with an average of 43.2 months. **Results** The last follow-up images showed that the obliteration of AVM was achieved in 6 patients, and the lesion volume reduced by $>75\%$ in 4 and $<50\%$ in 3. Of 8 patients with preoperative epilepsy, 6 patients were relieved or improved. One patient suffered from cerebral hemorrhage 7 months after the treatment, and 1 patient suffered from limb sensorimotor dysfunction due to brain radiation side effects 6 months after the treatment. **Conclusions** Volume-staged gamma knife radiosurgery is a safe and effective method for the treatment of large brain AVMs, and most clinical symptoms can be significantly improved.

【Key words】 Large cerebral arteriovenous malformations; Volume-staged gamma knife radiosurgery; Stereotactic radiosurgery

目前,脑动静脉畸形(arteriovenous malformation, AVM)的主要治疗方式包括手术、血管内栓塞和伽玛刀治疗。大多数脑AVM可以通过使用一种治疗方法或联合采用不同治疗方法进行有效治疗。伽玛刀单次治疗小型脑AVM(Spetzler-Martin分级I~II级)的疗效得到广泛的认可,血管巢闭塞率在72%~93%^[1-6]。但大型脑AVM(Spetzler-Martin

分级III~V级)的血管巢闭塞率明显下降。Pan等^[7]报道体积 $>15\text{ cm}^3$ 的AVM,单次伽玛刀治疗的血管巢闭塞率仅有25%。近年来,对于大型脑AVM,采用伽玛刀体积分割治疗或者剂量分割治疗,均取得良好的结果^[8-12]。2007~2017年采用伽玛刀体积分割治疗大型脑AVM共13例,现总结如下。

1 资料与方法

1.1 研究对象 13例大型脑AVM中,7例在中部战区总医院伽玛刀中心经马西普头部伽玛刀治疗,6例在武警广东省总队医院经尊瑞Free-GS头部伽玛刀治疗,均进行体积分割治疗。术前DSA或CTA检查明确诊断为脑AVM,体积 $>10\text{ cm}^3$ 。13例中,男8例,女5例;年龄5~62岁,中位年龄29.2岁。以癫痫发作为

doi:10.13798/j.issn.1009-153X.2021.06.001

作者单位:510000 广州,武警广东省总队医院肿瘤中心(詹增钦);430070 武汉,中国人民解放军中部战区总医院神经外科(王涛、许川、徐国政、祝永红)

共同第一作者:詹增钦、王涛

通讯作者:许川,E-mail:569683014@qq.com

首发症状8例,头痛3例,破裂出血1例,肢体运动和感觉障碍1例。7例曾行血管内栓塞治疗。

1.2 影像学资料 治疗前行DSA、CTA及MRI影像评估,11例脑AVM位于大脑皮质或皮质下,其中顶叶3例,额叶4例,枕叶2例,颞叶2例;2例为深部脑AVM,其中脑干1例,胼胝体1例。术前Spetzler-Martin分级Ⅲ级7例,Ⅳ级3例,Ⅴ级3例。根据RBAS(匹兹堡放射外科)AVM评分^[13]:0.1~2.0分3例,2.1~3.0分8例,3.1~4.0分1例, ≥ 4.1 分1例。根据VRAS评分^[14]:2分3例,3分10例,无4分病例。13例都为多支动脉供血;8例为深浅静脉引流,5例为浅静脉引流。

1.3 治疗方法 局麻下安装Leksell-G型定位头架,采用1.5 T磁共振机行3D-TOF增强扫描,影像传入伽玛刀计划系统,制定治疗计划。包绕病灶周边的等剂量曲线为45%~55%,边缘剂量14~20 Gy,平均16.6 Gy;等中心照射点5~16个,平均7.5个。首次治疗3~18个月,进行第二次伽玛刀治疗。治疗具体参数见表1。

1.4 随访以及疗效评估 第二次伽玛刀治疗后6~12个月行影像学检查,采用MRI、320-CTA以及DSA评

估治疗效果。MRI、320-CTA显示畸形血管闭塞后,根据病人意愿行DSA进一步明确。MRI闭塞标准:增强T₁像无强化的畸形血管巢,T₂像无流空信号及畸形静脉引流,畸形血管巢消失。320-CTA标准:未见畸形血管巢。DSA标准为畸形血管团及畸形静脉引流消失。血管巢闭塞后每2年复查头颅MRI,观察有无迟发性放射性副反应。

2 结果

2.1 治疗效果 3例头痛缓解。8例癫痫中,2例癫痫症状完全缓解(Engel分级Ⅰ级),停用抗癫痫药物;4例症状部分缓解(Engel分级Ⅱ级2例,Ⅲ级2例),口服抗癫痫药物减量;2例癫痫症状无明显变化。

2.2 随访结果 13例随访24~92个月,平均为43.2个月。末次随访320-CTA或MRI检查显示,6例血管巢闭塞,其中2例DSA证实畸形完全闭塞;4例病灶体积减小>75%,3例病灶缩小<50%。见表2。

2.3 治疗并发症 1例治疗后7个月出现少量脑出血,予以保守治疗,首次治疗后12个月行第二次伽玛刀治疗,在第二次治疗后3年复查320-CTA发现微小动脉瘤。1例脑干AVM治疗后6个月出现左侧肢体

表1 本文13例大型脑动静脉畸形伽玛刀体积分割治疗的参数

| 治疗时间 | 治疗体积(cm ³) | 边缘剂量(Gy) | 中心剂量(Gy) | 等剂量曲线(%) |
|------|------------------------|-------------|-------------|-----------|
| 首次治疗 | 14.1(8~23) | 16.6(14~20) | 31.2(28~38) | 50(45~55) |
| 再次治疗 | 11.1(9~31) | 14.8(13~18) | 29.6(26~36) | 50(45~55) |

表2 本文13例大型脑动静脉畸形病例资料

| 病例 | 年龄(岁) | 性别 | 症状 | 既往治疗 | SM分级 | RBAS评分(分) | VRAS评分(分) | 部位 | 供血动脉 | 引流静脉 | 治疗效果 |
|------|-------|----|--------|------|------|-----------|-----------|-----|----------|-----------|------|
| 病例1 | 5 | 女 | 癫痫 | 栓塞 | Ⅲ级 | 2.36 | 3 | 顶叶 | MCA+ACA | SSS | 闭塞 |
| 病例2 | 16 | 男 | 癫痫 | 无 | Ⅳ级 | 1.95 | 3 | 顶叶 | MCA+ACA | SSS+Galen | 缩小 |
| 病例3 | 19 | 男 | 癫痫 | 栓塞 | Ⅲ级 | 2.94 | 2 | 颞叶 | MCA+分支 | SSS | 闭塞 |
| 病例4 | 27 | 女 | 癫痫 | 栓塞 | Ⅲ级 | 2.36 | 3 | 顶叶 | MCA+PCA | SSS | 缩小 |
| 病例5 | 56 | 男 | 癫痫 | 栓塞 | Ⅲ级 | 1.98 | 2 | 颞叶 | MCA+PCA | SSS+Galen | 闭塞 |
| 病例6 | 35 | 男 | 癫痫 | 栓塞 | Ⅳ级 | 2.84 | 3 | 额叶 | MCA+ACA | SSS+Galen | 缩小 |
| 病例7 | 21 | 女 | 癫痫 | 无 | Ⅲ级 | 2.51 | 3 | 胼胝体 | MCA+分支 | SSS | 闭塞 |
| 病例8 | 23 | 男 | 癫痫 | 栓塞 | Ⅴ级 | 3.19 | 3 | 额叶 | MCA | SSS+横窦 | 闭塞 |
| 病例9 | 46 | 女 | 头痛 | 无 | V | 5.62 | 3 | 额叶 | MCA+分支 | SSS+Galen | 缩小 |
| 病例10 | 18 | 男 | 头痛 | 无 | V级 | 2.58 | 3 | 枕叶 | PCA+Acha | SSS+Galen | 闭塞 |
| 病例11 | 29 | 男 | 头痛 | 栓塞 | Ⅲ级 | 2.36 | 2 | 额叶 | MCA | SSS | 缩小 |
| 病例12 | 23 | 女 | 肢体功能障碍 | 无 | Ⅳ级 | 2.46 | 3 | 脑干 | VA-BA | Galen | 缩小 |
| 病例13 | 62 | 男 | 出血 | 无 | Ⅲ级 | 1.96 | 3 | 枕叶 | PCA+Acha | SSS+Galen | 缩小 |

注:SM分级,Spetzler-Martin分级;MCA,大脑中动脉瘤;ACA,大脑前动脉;PCA,大脑后动脉;VA,椎动脉;BA,基底动脉;SSS,上矢状窦;Galen, Golen静脉。

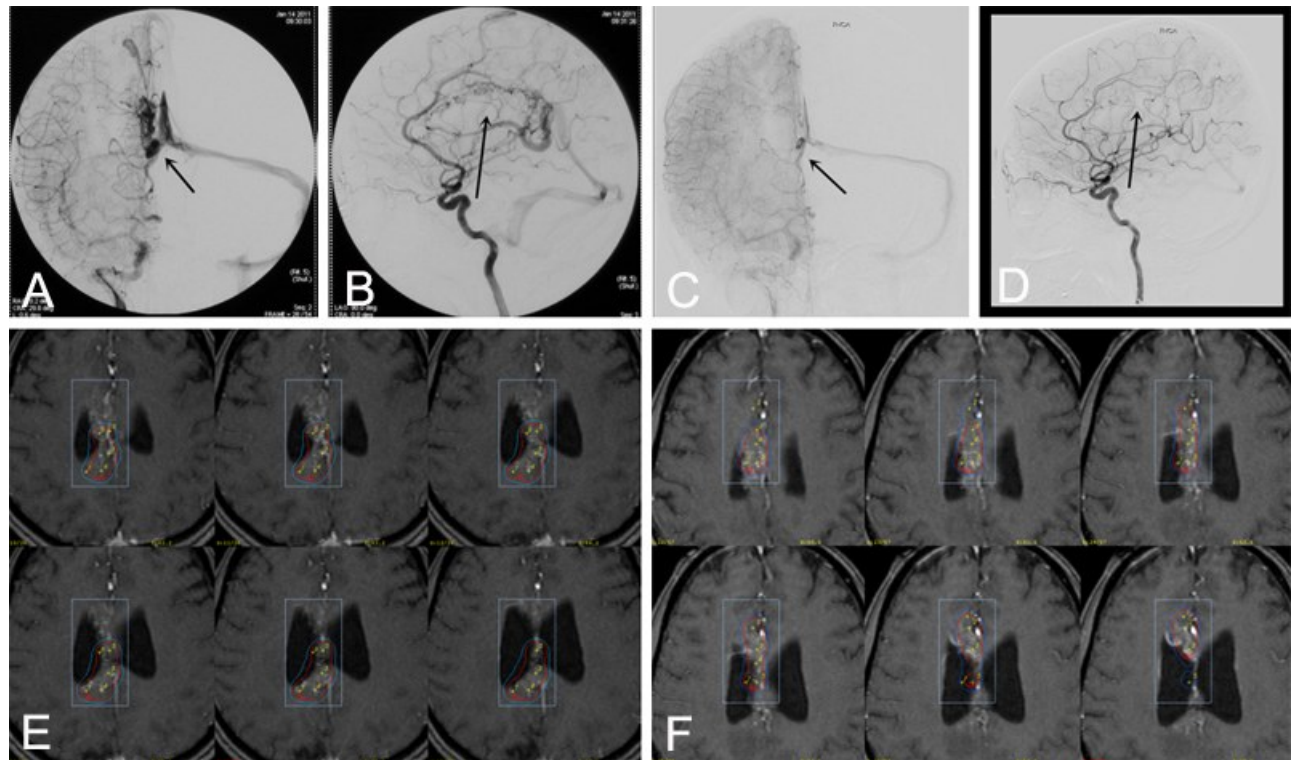


图1 脓肿体大型动静脉畸形伽玛刀体积分割治疗前后影像

A、B. 治疗前DSA,发现脓肿体动静脉畸形,由右侧大脑后动脉供血,未见明显引流静脉;C、D. 第二次治疗后24个月DSA,未见明显动静脉畸形团;E. MRI显示第一次伽玛刀治疗病灶的后部;F. MRI显示6个月后第二次伽玛刀治疗病灶

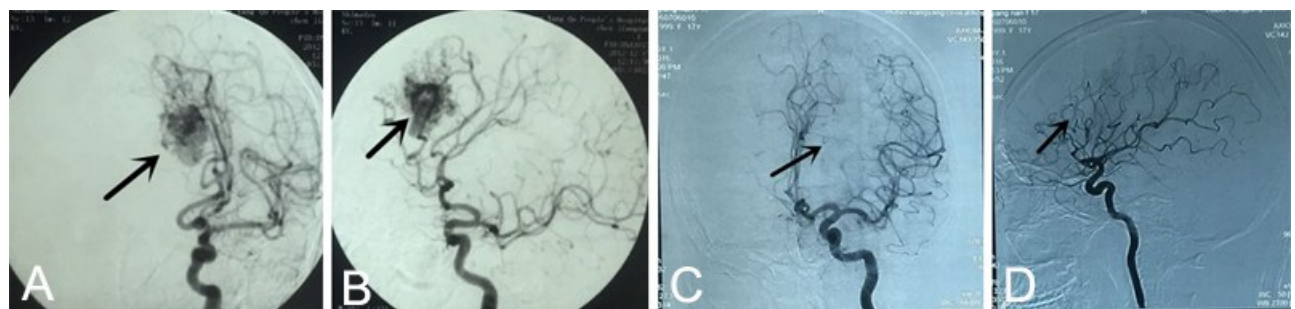


图2 右侧额叶大型动静脉畸形伽玛刀体积分割治疗前后影像

A、B. 首次治疗前DSA显示右侧额叶动静脉畸形;C、D. 第二次治疗后DSA未见明显动静脉畸形团

肌力下降,复查MRI示治疗部位周边T₂像呈高信号,经脱水、高压氧等治疗后好转。

2.4 典型病例

病例1: 21岁女性,脓肿体大型AVM,2010年1月18日首次伽玛刀体积分割治疗,边缘剂量19Gy,等剂量曲线50%,中心剂量38Gy;6个月后第二次伽玛刀治疗,边缘剂量17Gy,等剂量曲线50%,中心剂量34Gy。治疗后复查DSA未见明显动静脉畸形血管团(图1)。

病例2: 23岁男性,右侧额叶大型AVM,2013年3月11日首次伽玛刀体积分割治疗,边缘剂量17Gy,等剂量曲线50%,中心剂量34Gy;6个月后第二

次伽玛刀治疗,边缘剂量16Gy,等剂量曲线50%,中心剂量32Gy。2016年7月7日复查DSA发现病灶消失(图2)。

3 讨论

3.1 伽玛刀治疗策略的选择 大型脑AVM的治疗是神经外科的难题。伽玛刀单次治疗大型脑AVM的临床效果不甚理想,血管闭塞率偏低,并有较高的并发症风险。Pollock等^[15]1996年首次提出伽玛刀体积分割治疗的概念,随后应用于临床治疗。伽玛刀体积分割治疗需要根据病灶的解剖特点,将大型AVM分隔成体积均等部分,对每一部分进行单次

剂量照射,治疗间隔通常在3~8个月。体积分割治疗大型AVM较单次治疗,可获得更高的血管巢闭塞率,治疗后放射性副反应发生率为14%^[12,13,15]。研究表明大型脑AVM的伽玛刀体积分割治疗可能优于剂量分割治疗,治疗后血管巢闭塞率更高,而放射性副反应发生率更低^[16,17]。我们采用伽玛刀体积分割治疗大型脑AVM,根据术前DSA显示的供血动脉解剖结构,首次治疗选择贴近供血动脉的血管巢部分,给予稍高的边缘剂量(平均16.6Gy),治疗后6~12个月第二次伽玛刀治疗时,降低边缘剂量(平均14.8Gy),以期能够降低放射性副反应发生率;结果显示,6例血管巢闭塞,闭塞率为46.1%,1例出现放射性副反应。这与既往报道相仿^[18~20]。

3.2 伽玛刀治疗后癫痫发作的缓解率 大部分大型脑AVM以癫痫发作为首发症状,缓解病人癫痫症状是大型脑AVM治疗的关键目的。既往报道癫痫症状的缓解率与AVM的血管巢闭塞率呈正相关^[21~23]。Baranoski等^[23]进行荟萃分析指出,显微手术控制癫痫发作最佳,缓解率是78.3%,伽玛刀治疗的缓解率是62.8%,介入栓塞治疗的缓解率是49.3%;新发癫痫发作以介入栓塞最常见,发生率达39%,其次是显微手术(9%),伽玛刀最低(5%)。Ditty等^[21]报道78例癫痫发作中,63例(80.8%)伽玛刀治疗后无癫痫发作;126例无癫痫症状中,仅5例(4.0%)治疗后出现癫痫发作症状。本文13例中,8例以癫痫发作为首发症状;治疗后,6例癫痫发作症状缓解,其中4例MRI影像复产显示血管巢闭塞,未见新发癫痫发作,总缓解率为75%。

3.3 伽玛刀治疗后出血的风险 对未破裂出血的脑AVM,伽玛刀治疗是否增加出血的风险,目前尚存在争议。有前瞻性研究认为,对于未破裂AVM,保守治疗的效果优于任何形式的干预性治疗^[24,25];但随访时间较短,病人存在选择偏差,需更多的长期随访研究。部分学者认为未破裂AVM伽玛刀治疗的出血风险低于脑AVM自然出血风险。Yen等^[26]报道1989~2009年治疗AVM共1 400例,未治疗的脑AVM出血率为6.6%,伽玛刀治疗后出血率为2.5%。Kano等^[27]描述996例接受伽玛刀治疗的AVM,治疗前年出血率为3.4%,治疗后年出血率为1.3%。这些研究主要关注的是小AVM。对于大型脑AVM治疗,Karlsson等^[28]报道,AVM>9 cm³的病人中,治疗后年出血率为7%,其中35%的出血发生在首次治疗后1年内。Huang等^[11]对18例体积>15 cm³的AVM行伽玛刀分次治疗,结果证实,即使治疗后畸形血管巢未

完全闭塞,伽玛刀治疗并未增加出血风险。本文12例未破裂出血的AVM中,1例首次治疗后7个月出现少量出血,第二次治疗后37个月复查320-CTA发现原治疗部位血管巢消失,但发现微小动脉瘤。这提示对于大型脑AVM的破裂出血可能与伴发的微小动脉瘤相关。

综上所述,伽玛刀体积分割治疗大型脑AVM是一种安全有效的治疗方案,可以增加AVM的闭塞率以及临床症状缓解率,但治疗后出血率、迟发性放射性副反应仍需进一步研究。

【参考文献】

- Lunsford LD, Kondziolka D, Flickinger JC, et al. Stereotactic radiosurgery for arteriovenous reanastomoses of the brain [J]. J Neurosurg, 1991, 75(4): 512~524.
- Lunsford LD, Kondziolka D, Flickinger JC. Gamma knife brain surgery [M]. Switzerland Basel: Karger, 1998. 51~88.
- Kano H, Lunsford LD, Flickinger JC, et al. Stereotactic radiosurgery for arteriovenous malformations, Part 1: management of Spetzler-Martin Grade I and II arteriovenous malformations [J]. J Neurosurg, 2012, 116: 11~20.
- Kano H, Kondziolka D, Flickinger JC, et al. Stereotactic radiosurgery for arteriovenous malformations, Part 4: management of basal ganglia and thalamus arteriovenous malformations [J]. J Neurosurg, 2012, 116: 33~43.
- Kano H, Kondziolka D, Flickinger JC, et al. Stereotactic radiosurgery for arteriovenous malformations, Part 5: management of brainstem arteriovenous malformations [J]. J Neurosurg, 2012, 116: 44~53.
- Kano H, Kondziolka D, Flickinger JC, et al. Stereotactic radiosurgery for arteriovenous malformations, Part 6: multi-staged volumetric management of large arteriovenous malformations [J]. J Neurosurg, 2012, 116: 54~65.
- Pan DH, Guo WY, Chung WY, et al. Gamma knife radiosurgery as a single treatment modality for large cerebral arteriovenous malformations [J]. J Neurosurg, 2000, 93(3): 113~119.
- Back AG, Vollmer D, Zeck O, et al. Retrospective analysis of unstaged and staged Gamma Knife surgery with and without preceding embolization for the treatment of arteriovenous malformations [J]. J Neurosurg, 2008, 109 Suppl(12): 57.
- Alkhalili K, Chalouhi N, Tjoumakaris S, et al. Staged-volume radiosurgery for large arteriovenous malformations:

- a review [J]. *Neurosurg Focus*, 2014, 37(3): E20.
- [10] Dalyai R, Theofanis T, Starke RM, et al. Stereotactic radiosurgery with neoadjuvant embolization of larger arteriovenous malformations: an institutional experience [J]. *Biomed Res Int*, 2014, 2014: 306518.
- [11] Huang PP, Rush SC, Bernadine D, et al. Long-term outcomes after staged-volume stereotactic radiosurgery for large arteriovenous malformations [J]. *Neurosurgery*, 2012, 71(3): 632–644.
- [12] Pan DH, Guo WY, Chung WY, et al. Gamma knife radiosurgery as a single treatment modality for large cerebral arteriovenous malformations [J]. *J Neurosurg*, 2000, 93(3): 113–119.
- [13] Pollock BE, Flickinger JC. Modification of the radiosurgery-based arteriovenous malformation grading system [J]. *Neurosurgery*, 2008, 63(2): 239–243.
- [14] Starke RM, Yen CP, Ding D, et al. A practical grading scale for predicting outcome after radiosurgery for arteriovenous malformations: analysis of 1012 treated patients [J]. *J Neurosurg*, 2013, 119(4): 981–987.
- [15] Pollock BE, Pollock BE, Douglas K, et al. Repeat stereotactic radiosurgery of arteriovenous malformations: factors associated with incomplete obliteration [J]. *Neurosurgery*, 1996, 38(2): 318–324.
- [16] Xiao F, Gorgulho AA, Chun-Shu L, et al. Treatment of giant cerebral arteriovenous malformation: hypofractionated stereotactic radiation as the first stage [J]. *Neurosurgery*, 2010, 67(5): 1253–1259.
- [17] Moosa S, Chen CJ, Ding D, et al. Volume-staged versus dose-staged radiosurgery outcomes for large intracranial arteriovenous malformations [J]. *Neurosurg Focus*, 2014, 37(3): E18.
- [18] Pollock BE, Kline RW, Stafford SL, et al. The rationale and technique of staged-volume arteriovenous malformation radiosurgery [J]. *Int J Radiat Oncol Biol Phys*, 2000, 48(3): 817–824.
- [19] Seymour ZA, Sneed PK, Gupta N, et al. Volume-staged radiosurgery for large arteriovenous malformations: an evolving paradigm [J]. *J Neurosurg*, 2015, 124(1): 1–12.
- [20] Sirin S, Kondziolka D, Niranjan A, et al. Prospective staged volume radiosurgery for large arteriovenous malformations: indications and outcomes in otherwise untreatable patients [J]. *Neurosurgery*, 2008, 62 Suppl 2: 744–754.
- [21] Ditty BJ, Omar NB, Foreman PM, et al. Seizure outcomes after stereotactic radiosurgery for the treatment of cerebral arteriovenous malformations [J]. *J Neurosurg*, 2017, 126(3): 845–851.
- [22] Schäuble B, Cascino GD, Pollock BE, et al. Seizure outcomes after stereotactic radiosurgery for cerebral arteriovenous malformations [J]. *Neurology*, 2004, 63(4): 683–687.
- [23] Baranoski JF, Grant RA, Hirsch LJ, et al. Seizure control for intracranial arteriovenous malformations is directly related to treatment modality: a meta-analysis [J]. *J Neurointerv Surg*, 2014, 6(9): 684–690.
- [24] Mohr JP, Parides MK, Staff C, et al. Medical management with or without interventional therapy for unruptured brain arteriovenous malformations (ARUBA): a multicentre, non-blinded, randomised trial [J]. *Lancet*, 2014, 383(9917): 614–621.
- [25] Al-Shahi SR, White PM, Counsell CE, et al. Outcome after conservative management or intervention for unruptured brain arteriovenous malformations [J]. *JAMA*, 2014, 311(16): 1661–1669.
- [26] Yen CP, Schlesinger D, Sheehan JP. Natural history of cerebral arteriovenous malformations and the risk of hemorrhage after radiosurgery [J]. *Prog Neurol Surg*, 2013, 27: 5–21.
- [27] Kano H, Kondziolka D, Flickinger JC, et al. Aneurysms increase the risk of rebleeding after stereotactic radiosurgery for hemorrhagic arteriovenous malformations [J]. *Stroke*, 2012, 43(10): 2586–2591.
- [28] Karlsson B, Jokura H, Lax I, et al. Is repeated radiosurgery an alternative to staged radiosurgery for very large brain arteriovenous malformations [J]? *J Neurosurg*, 2007, 107(4): 740–744.

(2020-12-31收稿,2021-04-18修回)